

グラフを利用した link の多項式の研究

東女大文理 小林一章

本論文ではグラフを利用して link の Hoste 多項式の性質を述べてみたいと思います。Hoste 多項式については文献([H], [K.1])を参照, link の図をグラフに直す事については文献([K.2])を参照して下さい。ただし[K.1]で述べた Hoste 多項式は[H]に従って本論文では以下のようにします(これは単なる変数変換です)

(1) K が \mathbb{R} の成分をもつ自明な絡み輪 (link)

$$\Rightarrow Q_K(x, y, z) = \left(-\frac{x+y}{z}\right)^{\mathbb{R}-1}$$

(2) K, \bar{K}, L がある交差点の近くで次の関係にあり, 他の所では一致しているような3つの link なら

$$xQ_K + yQ_{\bar{K}} + zQ_L = 0 \quad \text{という1次関係が成立する.}$$



また[K.2]では link から導かれる平面 \mathbb{R}^2 上のグラフにおいて無限遠点を含む方のグラフ(双対グラフ)は使用しませんでしたが, 本論文ではむしろ積極的に使います。このときグラフが連結(linkがsplit)でないならそれらの双対グラフを考へ

るときは、各連結成分の双対グラフを取り、これらの disjoint union を最初の非連結グラフの双対グラフとします。

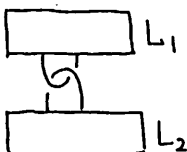
Jones [5] は彼の定義した link の多項式 $V_L(t)$ に関し次のような結果を出している。

[Jones] γ を link L の一つの連結成分で、他の連結成分との linking number を λ とする。 L' を γ の向きを逆にして得られた link とする。このとき $t^{3\lambda} V_L(t) = V_{L'}(t)$

この結果に関連して次の事が証明される。

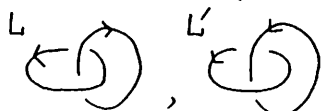
定理. $L = L_1 \cup L_2$ というように 2 つの sublinks に分け (L_1 と L_2 は split しているわけではない)、 L_1 と L_2 が double crossing sum になっていて $L' = L_1 \cup (-L_2)$ とする。このとき

$$lk(L_1, L_2) = 0 \iff Q_L = Q_{L'}$$

ここで crossing sum とは  L_1 とはっていること

であり、図の様「引っかけ」が 2ヶ所あるとき double crossing sum という。

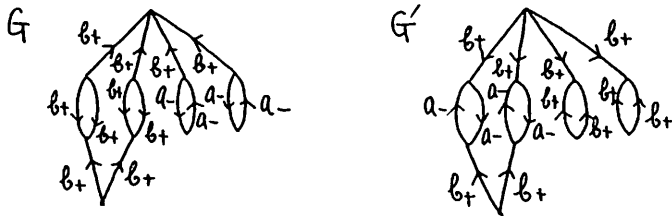
注. 上述のような link L, L' に対して $Q_L = Q_{L'}$ となるかという問題設定に対しては $lk(L_1, L_2) \neq 0$ のときは

 L, L' に対して $Q_L \neq Q_{L'}$ であり また例え $lk(L_1, L_2) = 0$ であっても上述の crossing

sum をする場所が (これは $lk(L_1, L_2) = 0$ より偶数回所) 4ヶ所
 以上では下図の例のように $Q_L \neq Q_{L'}$ となる例がある。



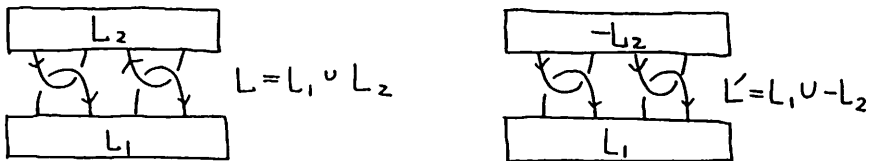
グラフで示すと下図のようになる。



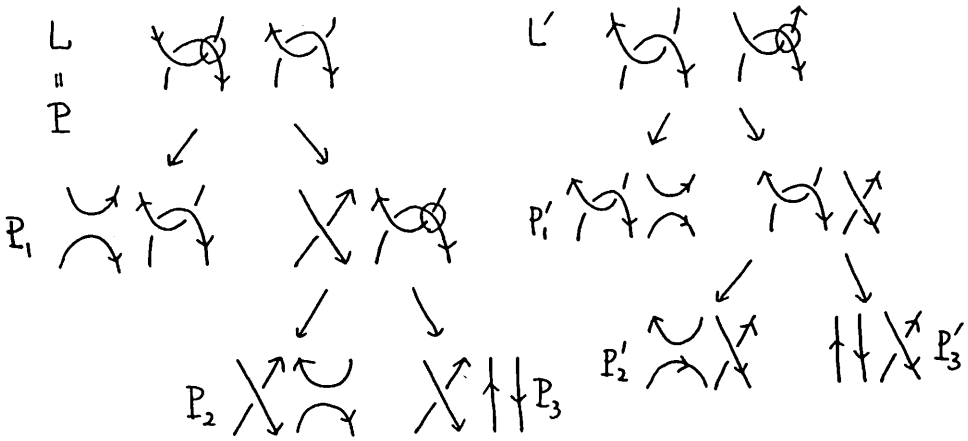
これの Conway poly. $\nabla_L(z) = Q_L(1, -1, -z)$ を計算すると
 $\nabla_L(z) = 2z^3 + 3z^5$, $\nabla_{L'}(z) = -2z^3 + 2z^5$ となり $Q_L \neq$

$Q_{L'}$ が示される。

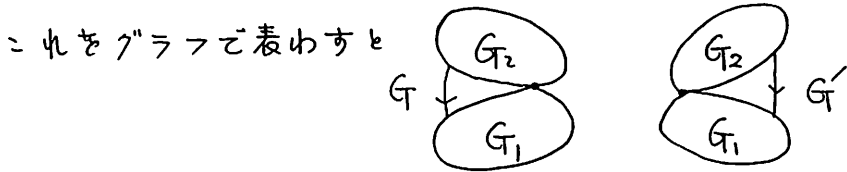
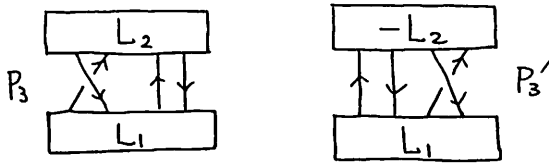
定理の証明). (\Rightarrow). 定理の条件より L 及び L' の diagram は
 下図のようになっているとしてよい



図の double crossing sum の部分で resolve すると



上図で P_1 と P_1' は共に $L_1 \# H \# L_2$ (H は 絡み数 -1 をもつ Hopf link) であり P_2 と P_2' は共に $L_1 \# L_2$ であるから $Q_L = Q_{L'}$ を示すには $Q_{P_3} = Q_{P_3'}$ を示せばよい。 P_3 及び P_3' の部分の diagram は

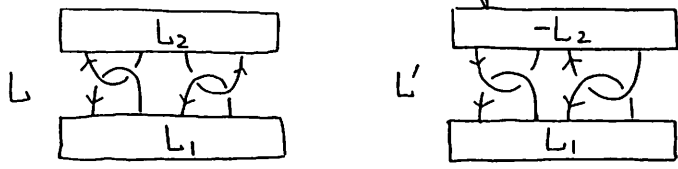


グラフの頂点は contraction に依って数個が1個になることはあっても消滅することはないので G_2 の部分の resolution を取ると G は \dots 又は \dots に resolve される。しかし P_3 の向きを考慮に入れると右図は起り得ない。同様に G' の G_2 の部分の

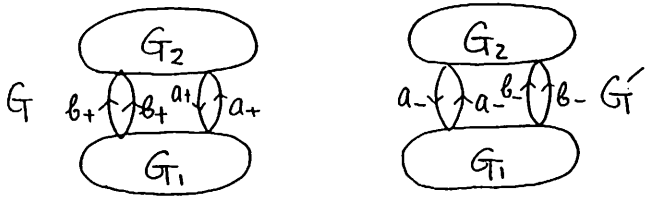
resolution_Lを取ると \dots 又は  又は  に分解さ

れる。所か P_3 の向きを考慮に入れると右図は起り得ない。(上の G , G' の G_2 の部分の resolution は互いに対応するグラフの辺の所で resolution を取る) 従って outermost vertices に対応するグラフが全て同じで resolution は G_2 の対応する所で行なっているので $Q_{P_3} = Q_{P'_3} \quad \therefore Q_L = Q_{L'}$

(\Leftarrow) 対偶を証明する。(即ち $lk(L_1, L_2) \neq 0 \Rightarrow Q_{L_1} \neq Q_{L_2}$ を示す) L_1 と L_2 が double crossing sum になっているので $lk(L_1, L_2) \neq 0 \Rightarrow lk(L_1, L_2) = \pm 2$ \therefore $lk(L_1, L_2) = 2$ の場合について証明する。($lk(L_1, L_2) = -2$ のときも同様に証明出来る) し及び L' は下図のような diagram をもつと仮定してよい。

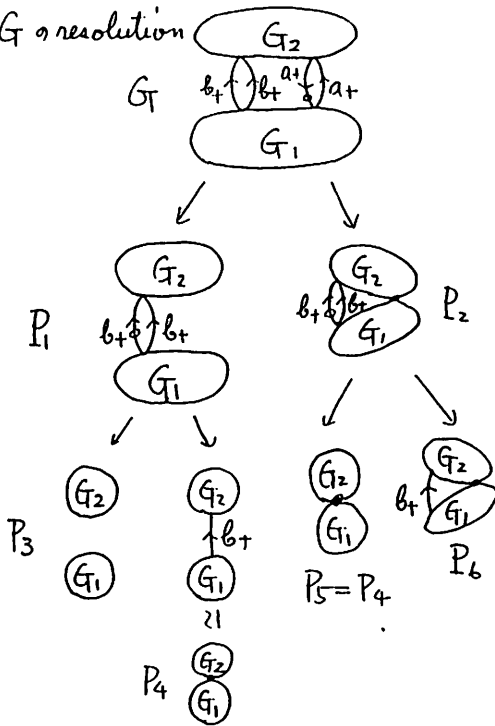


これらに対応するグラフは下図のようになる。



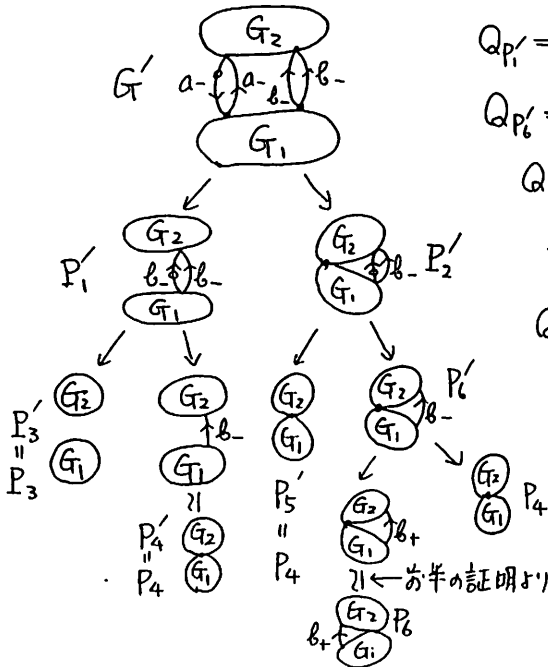
G の resolution をグラフを利用して行なうと次の図のようになる ([K. 2] 参照)

G の resolution



$$\begin{aligned} Q_{P_1} &= -\frac{y}{x} Q_{P_3} - \frac{z}{x} Q_{P_4} \\ Q_{P_2} &= -\frac{y}{x} Q_{P_5} - \frac{z}{x} Q_{P_6} \\ Q_G &= -\frac{y}{x} Q_{P_1} - \frac{z}{x} Q_{P_2} \\ &= \frac{y^2}{x^2} Q_{P_3} + \frac{yz}{x^2} (Q_{P_4} + Q_{P_5}) \\ &\quad + \frac{z^2}{x^2} Q_{P_6} \\ &= \frac{y^2}{x^2} Q_{P_3} + \frac{2yz}{x^2} Q_{P_4} + \frac{z^2}{x^2} Q_{P_6} \end{aligned}$$

G' の resolution



$$\begin{aligned} Q_{P_1'} &= -\frac{x}{y} Q_{P_3'} - \frac{z}{y} Q_{P_4'} \\ Q_{P_2'} &= -\frac{x}{y} Q_{P_5'} - \frac{z}{y} Q_{P_6'} \\ Q_{G'} &= -\frac{x}{y} Q_{P_1'} - \frac{z}{y} Q_{P_2'} \\ &= \frac{x^2}{y^2} Q_{P_3'} + \left(\frac{2xz}{y^2} - \frac{z^2}{y^2} \right) Q_{P_4'} \\ &\quad - \frac{xz^2}{y^3} Q_{P_6'} \end{aligned}$$

$$Q_G - Q_{G'} = \left(\frac{y^2}{x^2} - \frac{x^2}{y^2} \right) Q_{P_3} + \left(\frac{2yz}{x^2} - \frac{2xz}{y^2} + \frac{z^3}{y^3} \right) Q_{P_4} \\ + \left(\frac{z^2}{x^2} + \frac{xz^2}{y^3} \right) Q_{P_6}$$

$$\therefore \text{グラフより } Q_{P_3} = \left(-\frac{x+y}{z} \right) Q_{G_1} \cdot Q_{G_2} \\ Q_{P_4} = Q_{G_1} \cdot Q_{G_2} \text{ 故に}$$

$$Q_G - Q_{G'} = \left\{ \left(\frac{y^2}{x^2} - \frac{x^2}{y^2} \right) \left(-\frac{x+y}{z} \right) + \left(\frac{2yz}{x^2} - \frac{2xz}{y^2} + \frac{z^3}{y^3} \right) \right\} Q_{G_1} \cdot Q_{G_2} \\ + \left(\frac{z^2}{x^2} + \frac{xz^2}{y^3} \right) Q_{P_6}$$

$\therefore z=1, y=-1$ を代入すると

$$\tilde{Q}_G - \tilde{Q}_{G'} = (-2z - 2z - z^3) \tilde{Q}_{G_1} \cdot \tilde{Q}_{G_2} = (-4z - z^3) \tilde{Q}_{G_1} \cdot \tilde{Q}_{G_2}$$

$\therefore z \neq 0, \sqrt{-2}$ 且つ G_1, G_2 は共に connected としてよ

$$\therefore \text{から } \tilde{Q}_{G_1} \cdot \tilde{Q}_{G_2} \neq 0 \quad \therefore \tilde{Q}_G \neq \tilde{Q}_{G'} \quad \therefore Q_G \neq Q_{G'}$$

次に Hoste polynomial の z に依る次数 $\deg_z Q_L$ について考察してみます。これに依りては Hoste による次の定理があります

[Hoste] L を \mathbb{R}^3 の成分をもつ link とするならば Q_L は

$Q_L = z^{1-R} Q_{L'}$ とかける。ここで $Q_{L'}$ は z に依りて非負の偶数次多項式で $Q_{L'}(x, y, 0) \neq 0$ 』

link L の diagram P の resolution R を作りその outermost diagram を左から順に P_1, P_2, \dots, P_m とする。従って P_1 は initial changing branch の outermost vertex に対応する diagram, P_m は initial smoothing branch の outer-

most vertex に対応する diagram である。すると

$$Q_L = \sum_{i=1}^m \left(-\frac{x}{z}\right)^{f_i} \left(-\frac{x}{y}\right)^{l_i} \left(-\frac{z}{x}\right)^{s_i} \left(-\frac{z}{y}\right)^{t_i} \left(-\frac{x+y}{z}\right)^{r_i-1}$$

ここで f_i, l_i, s_i, t_i は各々 P から P_i に到達する途に positive crossing change, negative crossing change, positive smoothing, negative smoothing を行った回数。また r_i は trivial link P_i の成分の数 即ち $Q_{P_i} = \left(-\frac{x+y}{z}\right)^{r_i-1}$

定理1. L をそのグラフ G が $G = G_{a+}$ (又は G_{a-}) となっているような non-splittable link とする。更に

(1) G の resolution R が operation [0] ~ [III] のみで作られるか 又は

(2) resolution を作る時の crossing change 及び smoothing が常に $a+$ (又は $G = G_{a-}$ のときは $a-$) という code の所で行われる

$$\Rightarrow \deg_z Q_L = p-1 \quad \text{ここで } p = \#V(G).$$

(operation [0], [I], [II], [III] に際しては文献 [K.3] を参照).

証明 先ず $G = G_{a+}$ のとき initial smoothing side の辺の数は $p-1$ だから $Q_L = \sum_{i=1}^m \left(-\frac{x}{z}\right)^{f_i} \left(-\frac{x}{y}\right)^{l_i} \left(-\frac{z}{x}\right)^{s_i} \left(-\frac{z}{y}\right)^{t_i} \left(-\frac{x+y}{z}\right)^{r_i-1}$ に含まれる P_m から導かれる項は $\left(-\frac{z}{x}\right)^{p-1}$ である事がわかる (⊙(1)又は(2)の条件と $G = G_{a+}$ より). また P から P_i に到達する途の smoothing side の本数も $p-1$ 以下であることがわかる. 従って $\deg_z Q_L \leq p-1$ となり Q_L に含まれる他の項

の z^{p-1} の係数の和が $(-\frac{1}{x})^p$ に等しい事を示せばよい。

P_i から導かれる $Q_L(x, y, z)$ の各項は (1), (2) を考慮すると

$$\left(-\frac{y}{x}\right)^{r_i} \left(-\frac{z}{x}\right)^{s_i} \left(-\frac{x+y}{z}\right)^{k_i-1} \quad \text{だから 他の項の } z^{p-1}$$

の係数は $\sum_{\substack{s_i - (k_i - 1) = p - 1 \\ i+m}} (-1)^{r_i + s_i + (k_i - 1)} x^{-(r_i + s_i)} y^{r_i} (x+y)^{k_i - 1}$
 したがって $P_i \neq P_m$ だから $r_i \geq 1$

そこで $x=1$ とおくと

$$\text{上式} = \sum_{\substack{s_i - (k_i - 1) = p - 1 \\ i+m}} (-1)^{r_i + s_i + (k_i - 1)} y^{r_i} (y+1)^{k_i - 1} \quad (*)$$

$r_i \geq 1, k_i - 1 \geq 0$ だからこの和が $(-1)^p$ に等しいことはない

$$\therefore \deg_z Q_L = p - 1 \quad \square$$

operation [I], [II], [III] が G で行なえると, その双対グラフ ${}^L G$ でも [I], [II], [III] が行なえることと, G の code a_{\pm} は ${}^L G$ の b_{\pm} に対応するのでの定理は次の形でもかける。

系. L をそのグラフ G が $G = G_{b+}$ (又は G_{b-}) となっているような non-splittable link とする。更に

(1) G の resolution R が operation [0] ~ [III] のみで作られるか, または

(2) resolution を作る時の crossing change 及び smoothing が常に $b+$ (又は $G = G_{b-}$ のときは $b-$) という code のみで行なわれる

$$\Rightarrow \deg_z Q_L = \ell - 1 \quad \text{ただし } \ell = \#R(G) \equiv \#\{S^2 - G \text{ の成分}\}$$

証明) $L = \#(L^+G)$ であり $G = G_{B^+} \Rightarrow L^+G = G_{A^+}$ だから
 L^+G に対し定理の証明の議論を行なえばよい。』

定理2. L をそのグラフ G が $G = G_{A^+} \cup G_{A^-}$ となっている
 ような non-splittable link とする。更に

(1) G の resolution R が operation [I], [II], [III] のみで作られるか 又は

(2) resolution を作る時の crossing change 及び smoothing が常に a_+ 又は a_- という code の所で行なわれる

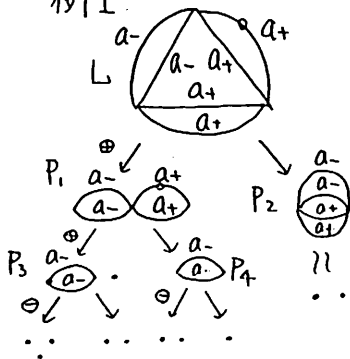
$$\Rightarrow \deg_z Q_L \leq p-1. \quad \text{ただし } p = \#V(G).$$

証明. 定理1の証明と同じ方針で行なう。ただし今度は定理1の証明中の式(*)が

$$\sum_{\substack{s_i+t_i-(k_i-1)=p-1 \\ i \neq m}} (-1)^{r_i+l_i+s_i+t_i-(k_i-1)} y^{r_i+l_i-t_i} (y+1)^{k_i-1} \quad \text{となり}$$

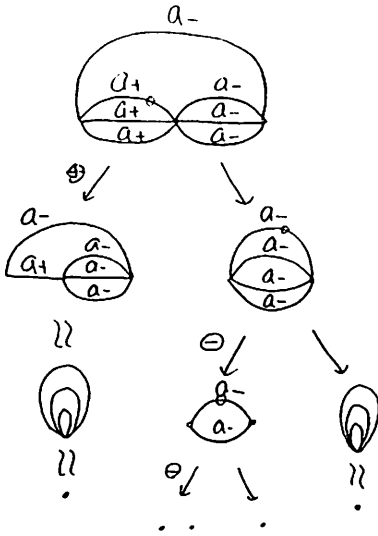
$r_i+l_i-t_i=0, k_i-1=0$ の時に、特に上式が $(-1)^p$ となる可能性があり。この時は $\deg_z Q_L < p-1$ となる。』

例1.



$$\begin{aligned} Q_L &= \left(-\frac{y}{x}\right)^2 \left(-\frac{x}{y}\right) \left(-\frac{x+y}{z}\right)^2 \\ &+ \left(-\frac{y}{x}\right)^2 \left(-\frac{z}{y}\right) \left(-\frac{x+y}{z}\right) \\ &+ \left(-\frac{y}{x}\right) \left(-\frac{x}{y}\right) \left(-\frac{z}{x}\right) \left(-\frac{x+y}{z}\right) \\ &+ \left(-\frac{y}{x}\right) \left(-\frac{z}{x}\right) \left(-\frac{z}{y}\right) + \left(-\frac{z}{x}\right) \left(-\frac{x+y}{z}\right) \\ \therefore \deg_z Q_L &= 2 \end{aligned}$$

例 2.



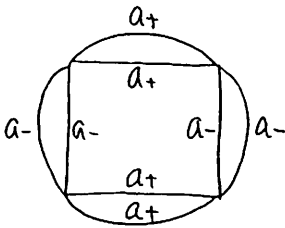
$$Q_L = \left(-\frac{y}{x}\right) + \left(-\frac{x}{y}\right)^2 \left(-\frac{z}{x}\right) \left(-\frac{x+y}{z}\right) + \left(-\frac{x}{y}\right) \left(-\frac{z}{x}\right) \left(-\frac{z}{y}\right) + \left(-\frac{z}{x}\right) \left(-\frac{z}{y}\right)$$

$\therefore \deg_z Q_L = 2$

しかし

$$\deg_z Q_L(1, 1, z) = 0$$

例 3



この Q_L を計算すると

$$\deg_z Q_L = 3 \text{ となり}$$

$$Q_L(1, -1, z) = 0 \text{ ทั่วไป}$$

に $Q_L(1, -1, z)$ は z に依る多項式であって Laurent 多項式ではない事に注意.

次に pretzel link の $\deg_z Q_L$ について考察してみます.

[K.3] により pretzel link L のグラフ G は, その基本グラフ F_G が 2-regular となるようなグラフである. そこで [K.3] で使った G の parametrization を少し修正して次のようにします. 先ず $V(G) = \{v_0, v_1, \dots, v_{p-1}\}$ とおく. F_G が 2-regular だから G の辺は v_i と v_{i+1} ($i=0, 1, 2, \dots, \text{mod } p$) のみを結ぶとしてよい. v_i と v_{i+1} とを結ぶ辺の数を g_i ($i=0, 1, 2, \dots, \text{mod } p$) とする. このとき link のグラフの性質 ([K.2], [K.3]) より,

v_i と v_{i+1} を結ぶ辺は全て a -code のみかまたは b -code のみとしてよい。更に operation [II] ([K.3]) を考慮に入れると v_i と v_{i+1} を結ぶ辺は a_+, a_-, b_+ 又は b_- のいずれか1種類としてよい。そこで $g_i \in \mathbb{N} \cup \{0\}$ とし, x_i を $a_+^{g_i}, a_-^{g_i}, b_+^{g_i}, b_-^{g_i}$ のいずれかとして $G = G(x_0, x_1, \dots, x_{p-1})$ と parametrize される。これを $G\{x_i\}$ と略記する。また例えば $G\{a_+^{g_i}\}$ とかいたら $G(a_+^{g_0}, a_+^{g_1}, \dots, a_+^{g_{p-1}})$ の意味 (即ち全ての code が a_+) とする。 G が link のグラフであることから ([K.2], [K.3]) によって G の parameter $\{x_i\}$ に対し次の事が言える

(1) $x_i = a_{\pm}^{g_i}, x_{i+1} = a_{\pm}^{g_{i+1}}$ (複号は任意) のときは

$$g_i + g_{i+1} = \text{偶数}$$

$$x_i = a_{\pm}^{g_i}, x_{i+1} = b_{\pm}^{g_{i+1}} \text{ 又は } x_i = b_{\pm}^{g_i}, x_{i+1} = a_{\pm}^{g_{i+1}} \text{ (複号}$$

は任意) のときは α の中乗が偶数

(2) $G\{x_i\}$ の中に出て来る b -code は偶数回

注. 通常の pretzel link の parameter $P(\tilde{g}_0, \tilde{g}_1, \dots, \tilde{g}_{p-1})$ は $\tilde{g}_i \in \mathbb{Z}$ であって $\tilde{g}_i > 0$ のときはこの parameter の $a_+^{|\tilde{g}_i|}$ 又は $b_+^{|\tilde{g}_i|}$ に対応, $\tilde{g}_i < 0$ のとき, この parameter の $a_-^{|\tilde{g}_i|}$ 又は $b_-^{|\tilde{g}_i|}$ に対応している。

定理3 (a) pretzel link $P\{g_i\}$ のグラフが $G\{a_+^{g_i}\}$ 又は $G\{a_-^{g_i}\}$ ($i=0, 1, \dots, p-1$) のとき $\deg_{\mathbb{Z}} Q_P = p-1$.

(b) $P\{g_i\}$ のグラフが $G\{a_+^{g_i}, a_-^{g_{i+1}}\}$ ($i=0, 1, \dots, p-1$) (即ち

a_+ と a_- code が混在している) のとき $\deg_z Q_{P\{g_i\}} \leq p-1$

(c) $P\{g_i\}$ のグラフが $G(b_+^{g_0}, b_+^{g_1}, \dots, b_+^{g_{2m-1}})$ 又は $G(b_-^{g_0}, b_-^{g_1}, \dots, b_-^{g_{2m-1}})$ のとき $\deg_z Q_{P\{g_i\}} = \sum_{i=0}^{2m-1} g_i - 2m + 1$

(d) $P\{g_i\}$ のグラフが $G\{b_+^{g_i}, b_-^{g_i}\}$ ($i=0, 1, \dots, 2m-1$) のとき (即ち b_+ と b_- code が混在しているとき)

$$\deg_z Q_{P\{g_i\}} \leq \sum_{i=1}^{2m-1} g_i - 2m + 1.$$

(e) $P\{g_i\}$ のグラフが $G\{a_+^{g_i}, b_+^{g_i}\}$ ($i=0, 1, 2, \dots, p-1$) のとき (即ち a_+ , b_+ codes が混在しているとき) または $G\{a_-^{g_i}, b_-^{g_i}\}$ のとき, $\{g_0, g_1, \dots, g_{p-1}\}$ のうち $\{g_{i_1}, g_{i_2}, \dots, g_{i_s}\}$ が a_+ -code に対応し, $\{g_{j_1}, g_{j_2}, \dots, g_{j_t}\}$ が b_+ -code に対応しているとき

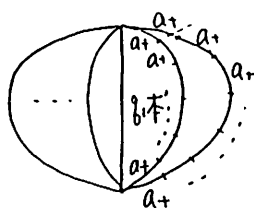
$$\deg_z Q_{P\{g_i\}} = s - t + \sum_{k=1}^t g_{j_k} + 1 \quad \text{ただし} \quad s + t = p, \quad t \neq 0$$

(f) $P\{g_i\}$ のグラフ $G(x_0, x_1, \dots, x_{p-1})$ が全ての code を含み $\{g_0, g_1, \dots, g_{p-1}\}$ のうち $\{g_{i_1}, g_{i_2}, \dots, g_{i_s}\}$ が a -code に対応し, $\{g_{j_1}, g_{j_2}, \dots, g_{j_t}\}$ が b -code に対応しているとするとき

$$\deg_z Q_{P\{g_i\}} \leq s - t + \sum_{k=1}^t g_{j_k} + 1 \quad \text{ただし} \quad s + t = p, \quad t \neq 0$$

証明. 基本グラフ F_G が 2-regular graph となるようなグラフ G は operation [I], [II], [III] のみで resolution を作ることで ([K.3]) (a) は定理 1 より (b) は定理 2 より 明らか

(c) の $G(b_+^{g_0}, b_+^{g_1}, \dots, b_+^{g_{2m-1}})$ のとき, G の双対グラフ tG は次の図のようになる. $\#V({}^tG) = \sum_{i=0}^{2m-1} (g_i - 1) + 2 = \sum_{i=0}^{2m-1} g_i - 2m + 2$



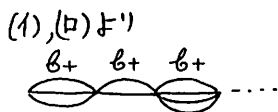
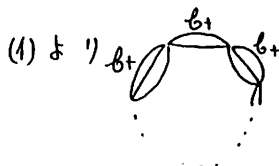
g_i 本 であり, このグラフ G は定理1
の条件をみたすから

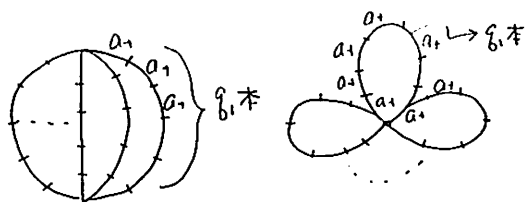
$$\deg_z Q_L = \sum_{i=0}^{2m-1} g_i - 2m + 1$$

(d) は (c) と同様にし, 定理2から

結果が出る.

(e) 先ず a_+ -code をもつ multi-edges の所に操作 [III](2) を次々と行なうと, 出来るグラフは次の3種類の組合せの可能性がある. (i) a_+ -code の部分が contract してゐる (smoothing を行なった時に出来る) (ii) a_+ -code の部分がなくなつてゐる (a_+ -code が偶数本の multi-edges の所を crossing changes を行なつて出来る). (iii) a_+ -code の辺が唯一本残つてゐる (a_+ -code が奇数本の multi-edges の所を crossing changes を行なつて出来る. 所が(i)が起つたらグラフが link のグラフになつてゐる事と操作 [III](1) を使うと矛盾が示せる. 結局 G_{b_+} 中の時は a_+ -code の奇数本から成る multi-edge はない事わかる. また(ii)が起つてグラフが連結でなくなると Q_L の次数が下がる. 従つて $\deg_z Q_L$ を与えるのは次のグラフという事になる. この各々の双対グラフを考えると次頁の図になる.





左図のグラフの頂点の度数 = $\sum_{k=1}^t (g_{jk} - 1) + 2$
 $= \sum_{k=1}^t g_{jk} - t + 2$

右図のグラフの頂点の度数 = $\sum_{k=1}^t (g_{jk} - 1) + 1 = \sum_{k=1}^t g_{jk} - t + 1$

従って $\deg_{\mathbb{Z}} Q_L$ に関係するのは左図の場合である。最初に与えられたグラフから a_+ -code を消すのに必要な smoothing の回数は $t \neq 0$ のとき S 回であり双対グラフにならば t からは

$$\left(\sum_{k=1}^t g_{jk} - t + 1 \right) \text{回} \quad \text{以上より } \deg_{\mathbb{Z}} Q_L \leq S - t + \sum_{k=1}^t g_{jk} + 1$$

更に等号が成立するのは定理1の証明と同じ

(f)は上の(e)の証明と定理2から証明される \square

系 positive type (i.e. $G = G_{a+} \cup G_{b+}$) または negative type (i.e. $G = G_{a-} \cup G_{b-}$) の non-trivial pretzel link L で

$$Q_L = \left(-\frac{x+y}{z} \right)^{k-1} \quad \text{となるものはない。} \quad (k \in \mathbb{N})$$

注 L が k -成分の trivial link の時 $Q_L = \left(-\frac{x+y}{z} \right)^{k-1}$

証明 定理3(a), (e) より

$$\deg_{\mathbb{Z}} Q_{P\{g_i\}} = \begin{cases} S - t + \sum_{k=1}^t g_{jk} + 1 & t \neq 0 \\ S - 1 & t = 0 \end{cases}$$

従って $\deg_{\mathbb{Z}} Q_{P\{g_i\}} \geq 0$ であって特に $\deg_{\mathbb{Z}} Q_{P\{g_i\}} = 0$ になるのは $t = 0, S = 1$ の時であるが、このときは G の基本グラフ F_G は 2-regular であって1つの辺から成るグラフ 従って

pretzel link のグラフに $\tau = 1$ になるのは $t = 0$ のときは $S \geq 2$ 故に
 いずれにしても $\deg_{\mathbb{R}} Q_{\text{EFGI}} \geq 1$ 一方 $\deg_{\mathbb{R}} \left(-\frac{x+y}{2}\right)^{R-1} \leq 0$ 』

References

- [H] Hoste, J., A polynomial invariant of knots and links, preprint
- [J] Jones, V.F.R., A polynomial invariant for knots via von Neuman algebra, Bull. Amer. Math. Soc. 12 (1985) 103-111
- [K.1] Kobayashi, K., LinkのHoste多項式, 数理解析研講究録56「計算機を利用した低次元トポロジーの研究」
- [K.2] Kobayashi, K., グラフと絡み目に関する多項式, 数理解析研講究録「グラフ理論とその応用」
- [K.3] Kobayashi, K., 結び目理論に現われるグラフについて 数理解析研講究録「グラフ理論と3次元多様体」
- [L-M] Lickorish, W.B.R and Millett, K.C., Topological invariants of knots and links, preprint
- [M] Murasugi, K., Jones polynomials of Alternating Links, preprint
- [O] Ocneanu, A., A polynomial invariants for knots: A combinatorial and an algebraic approach, preprint.
- [F-Y-H-L-M-O] Freyd, P; Yetter, D; Hoste, J; Lickorish, W.B.R.;

Millet, K and Ocneanu, A, A new polynomial invariant
of knots and links, Bull. Amer. Math. Soc. 12(2) (1985)
239-246